August 2020

DOI: 10.11817/j.ysxb.1004.0609.2020-39577

石墨负载纳米零价铁去除溶液中 U(VI)



刘 学,李小燕,陈玉洁,桑伟璇,陈 蓉

(东华理工大学 核资源与环境国家重点实验室, 南昌 330013)

摘 要: 以液相还原法制备纳米零价铁,将其负载于石墨表面制备负载型纳米零价铁复合材料(G-nZVI),并用来 去除溶液中的 U(VI),考察初始溶液的 pH、反应温度、反应时间、U(VI)的初始浓度以及固液比等因素对复合材料(G-nZVI)去除 U(VI)影响。用扫描电镜(SEM)和 X 射线衍射(XRD)技术对反应前后的材料进行表征,分析其去除 U(VI)的机理。结果表明:纳米零价铁颗粒分散在石墨粉的表面,没有产生团聚。反应后溶液中主要生成 UO₂ 和 U(IV)氢氧化物沉淀。石墨负载型纳米零价铁对 U(VI)有很好的去除效果,在 pH 为 4.0,温度为 30 $^{\circ}$ 、反应时间 为 60 min,固液比为 0.25 g/L,初始 U(VI)浓度为 10 mg/L 条件下,U(VI)的去除率和吸附容量分别达到 99.67%和 43.2 mg/g,说明该复合材料(G-nZVI)在含铀放射性废水的处理与环境修复中具有潜在的应用价值。

关键词: 石墨; 纳米零价铁; 负载; 铀; 去除

文章编号: 1004-0609(2020)-08-1967-07

中图分类号: X703

文献标志码: A

能源问题是当今世界所有国家面临的主要问题, 我国"十三五"核能开发规划中明确提出,要安全高 效的发展核电。但是在整个核燃料循环与核设施的生 命周期当中,会产生一定量的放射性废物,如何安全 妥善地处理这些放射性废物是我们当今所面临的一个 紧迫问题[1]。含铀等放射性废水在放射性废物中占有 很大比例,如果这些废水不经过有效处理就排入环境, 将会给人类健康和生态环境造成巨大的影响, 因此, 放射性废水的妥善处理对核工业的可持续发展和核能 安全开发至关重要[2-3]。含铀放射性废水的主要来源有 4 类,分别是铀选治过程、核设施运行、乏燃料后处 理及放射性同位素应用等过程[4],在前三个来源中铀 占据主要成分。铀在溶液中主要以 U(VI)和 U(IV)形态 存在,其中 U(IV)易于形成稳定络合物沉淀,而 U(VI) 可溶性好,移动性强,对生态环境和人体健康影响较 大,因此,去除溶液中的铀主要是去除 U(VI)^[5]。目前, 去除溶液中 U(VI)方法有多种,但最主要的是离子交 换法[6]和吸附法[7]。

纳米零价铁作为一种新型吸附材料,具有比表面 积大、粒径小、反应活性高、很强的还原性和优越的 吸附能力等特点[8], 在环境治理中得到了广泛的应用。 但是由于纳米零价铁本身所具有的铁磁性以及高比表 面能,容易团聚成微米材料,降低其比表面积、反应 活性和流动性,同时纳米零价铁在空气中稳定性差, 易被氧化^[9]。为了防止纳米零价铁颗粒的团聚,增强 其反应活性, 需要对纳米零价铁进行修饰和改性, 常 用的改性方法有双金属修饰[10]、表面改性[11]和固体负 载[12]等方法。石墨作为一种廉价、具有良好化学稳定 性的材料,用其负载金属制备的复合材料在去除重金 属方面已有一些报道。魏英祥等[13]采用高分子辅助的 浸渍还原法,制备得到膨胀石墨负载的纳米钯催化剂, 研究其在六价铬还原反应中的活性,结果表明,该催 化剂对六价铬还原反应具有良好的催化性能, 可将六 价铬完全转化为三价铬。董军等[14]研究表明,利用石 墨制备的氧化石墨烯负载纳米零价铁对地下水中高毒 性的 Cr(VI)具有很好的去除效果。而目前用石墨负载 纳米零价铁去除 U(VI)尚未见报道。本实验采用液相 还原法制备纳米零价铁,并将其负载于石墨表面,制 备石墨负载纳米零价铁(G-nZVI)的复合材料,研究其 去除溶液中 U(VI)的性能和机理,该研究结果可以为

基金项目: 国家自然科学基金资助项目(41761090, 11465002); 江西省自然科学基金资助项目(20171ACB2021); 核资源与环境国家重点实验室资助项目(NRE1608)

收稿日期: 2019-09-11; 修订日期: 2019-12-12

通信作者: 李小燕, 教授, 博士; 电话: 18070046515; E-mail: 372040739@qq.com

含 U(VI)废水的处理提供一定的借鉴。

1 实验

1.1 实验试剂

过氧化氢、稀盐酸、六水合三氯化铁、氯乙酸、2,4-硝基苯酚、偶氮胂 III、八氧化三铀、石墨粉,药品均为分析纯。试验过程中所用水均为实验室自制蒸馏水。

U(VI)标准液配制:精确称取 0.1179 g 八氧化三铀 与 50 mL 烧杯中,加入 10 mL 王水,在电炉上加热溶解至蒸干。冷却后用 pH<2 的硝酸溶解定容至 100 mL 摇匀,配制质量浓度为 1 g/L 的标准铀储备液。

1.2 石墨-纳米零价铁复合材料的制备

称取一定量的 $FeCl_3\cdot 6H_2O$ 溶于 100 mL(80 mL 去离子水+20 mL 乙醇)溶液中,缓慢加入 1 g 石墨粉在溶液中混合均匀,在氮气的保护下,将等体积的 0.5 mol/L KBH_4 溶液在磁力搅拌下缓慢加入混合溶液中,持续通气并搅拌 1 h,将所得固液混合物在 4000 r/min的转速下离心 2 min,以蒸馏水和无水乙醇分别清洗固体 3 次,于 65 ℃真空干燥箱内干燥 10 h,经研磨得到石墨–纳米零价铁复合材料(G-nZVI)。

1.3 复合材料(G-nZVI)吸附行为探究

准确称取一定质量的复合材料于 40 mL、质量浓度为 10 mg/L 的 U(VI)溶液中,调节 pH 值至所需值,在恒温振荡箱中振荡一定时间后,以 4000 r/min 的转速下离心 2 min,取上层清液 1 mL 于比色管中,用分光光度法 $[^{15}]$ 测量溶液中剩余 U(VI)的浓度,并按照式(1)和和式(2)分别计算 U(VI)的去除率 R 和 t 时刻的吸附容量 $Q_t(mg/g)$ 。

$$R = \frac{c_0 - c_t}{c_0} \times 100\% \tag{1}$$

$$Q_t = \frac{(c_0 - c_t)V}{c_0} \times 100\%$$
 (2)

式中: R 为去除率,%; Q_t 为 t 时刻样品对 U(VI)的吸附量,mg/g; c_0 为铀初始浓度,mg/L; c_t 为 t 时刻铀的浓度,mg/L; V为体积,L; m 为样品投加量,mg。

2 结果与分析

2.1 复合材料(G-nZVI)的表征分析

2.1.1 扫描电子显微镜(SEM)表征结果

对石墨粉、纳米零价铁及复合材料(G-nZVI)进行 SEM 表征分析,结果如图 1 所示,从图 1(a)中可以看

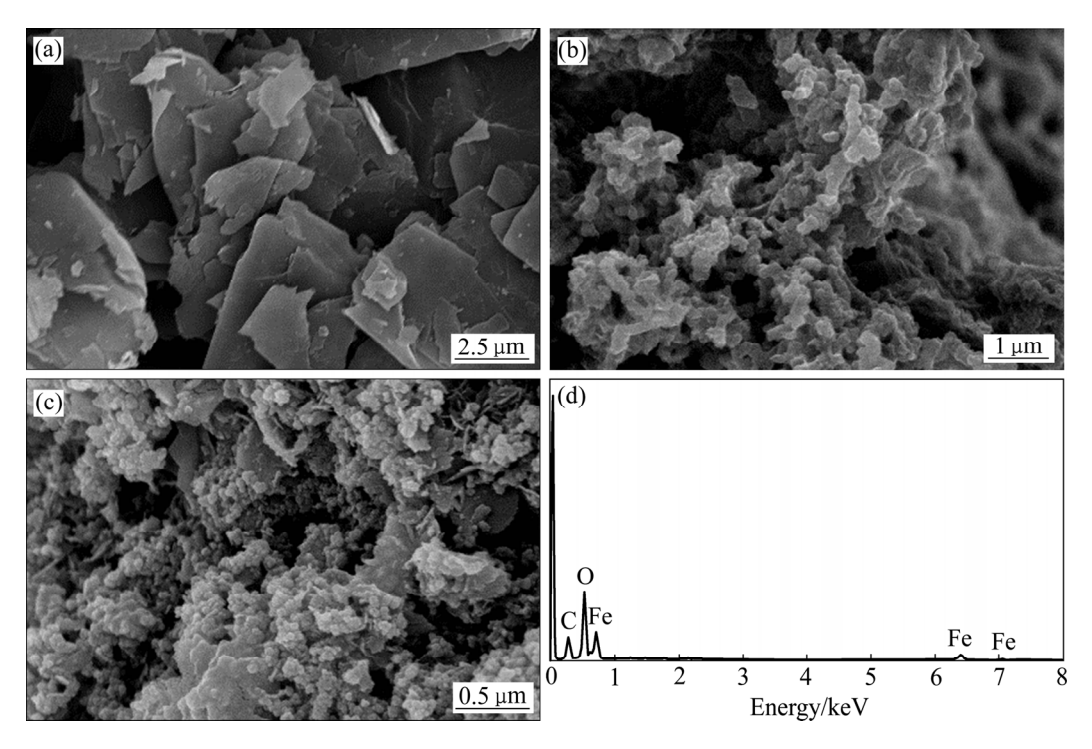


图 1 石墨粉、nZVI 和 G-nZVI 的 SEM 像以及 G-nZVI 的 EDS 分析

Fig. 1 SEM images of graphite powder(a), nZVI(b), G-nZVI(c) and EDS analysis of G-nZVI(d)

出,石墨表面较为光滑,整体结构为片状松散堆积。 从图 1(b)可以看出,新制备的 nZVI 呈现球型,团聚 比较明显,部分呈现链状。从图 1(c)可以看出,加入 石墨以后,纳米零价铁的链状形态消失,以球形疏松 分布在石墨的表面,团聚程度降低。从图 1(d)可以看 出,新制备的样品主要由 C、Fe 和 O 元素组成,其中 的 O 元素来自样品表面少量的 FeO·Fe₂O₃ 的氧化层。 2.1.2 X 射线衍射(XRD)表征分析

将复合材料(G-nZVI)反应前后产物进行 XRD 表 征分析如图2所示,从图2可以看出,在反应前G-nZVI 有 4 个较为强烈的特征衍射峰,分别位于 2θ 为 26.38°、 35.24°、44.9°、54.54°处。对比 PDF#41-1487 发现, 2θ =26.38°和 54.54°与标准卡一致,为石墨的特征衍射 峰, 其中主峰 2θ=26.38°为(002)面衍射峰, 晶面间距 为 3.376 Å, 半高宽(FWHM)为 0.212, 表明石墨具有 六方晶体结构^[16]。 2θ 为 44.9° (110)特征衍射峰证明了 G-nZVI 中存在着 $Fe^0(\alpha-Fe^0)$, 同时, 在 $2\theta=35.24$ °处存 在较弱的氧化亚铁晶相,表明纳米零价铁内核为 Fe^0 , 表面为铁氧化物的双层结构[17]。同时,根据 Scherrer 公式[18], 计算出石墨负载的纳米零价铁晶体平均尺寸 为 10.7 nm。从图 2(b)中可以看出, G-nZVI 与 U(VI) 发生反应后,石墨衍射峰强度减小, 2θ =44.9°处纳米 零价铁特征衍射峰几乎消失。同时在 2θ 为 30.08°、 35.44°、43.68°、56.96°、62.54°形成新的特征衍射峰。 对照 PDF#74-0748、89-4139 等标准卡, 所产生的特 征衍射峰与标准卡完全一致, 其主要成分为磁铁矿 Fe_3O_4 晶体。由此可以推断,由于 Fe^0 被氧化和腐蚀产 生 Fe(II), 在溶液中进一步被氧化成 Fe(III), 逐渐在 样品表面形成 U(IV)氢氧化物沉淀[19]。

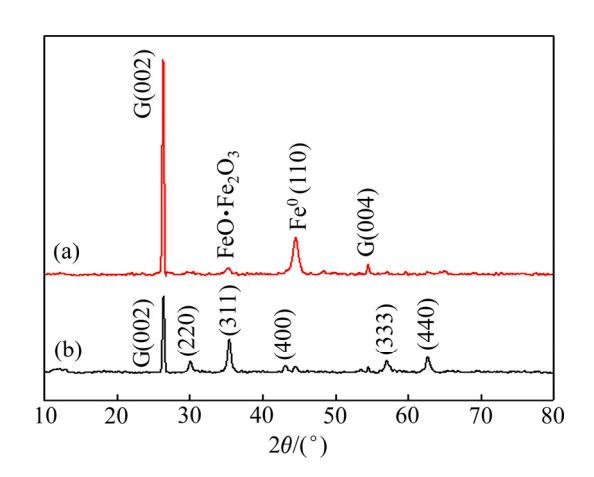


图 2 复合材料反应前、反应后的 XRD 谱

Fig. 2 XRD patterns of composite before(a) and after(b) reaction

2.2 复合材料对 U(VI)的吸附实验

2.2.1 铀在溶液中的存在形态

溶液中 U(VI)的存在形态分布与溶液的 pH 有着很大的关系,通过 VisualMINTEQ 3.1 软件模拟分析 U(VI) 在溶液 pH 为 2.5~7.5 之间的形态分布,结果如图 3 所示。从图 3 可以看出,随着溶液 pH 的升高,溶液中 U(VI) 的 存在 形态 由 UO_2^{2+} 开始 逐步 水解 形成 $UO_2(OH)^+$ 、 $(UO_2)_2(OH)_2^{2+}$ 、 $(UO_2)_3(OH)_5^+$ 、 $(UO_2)_4(OH)_7^+$ 。在溶液 pH < 7 时,溶液中 U(VI)的形态主要以带正电荷的阳离子形式存在,这种阳离子存在形态会与纳米零价铁 被腐蚀后表面所产生的 \Longrightarrow FeO⁻之间产生静电吸引^[20],从而促进溶液中的铀被去除。

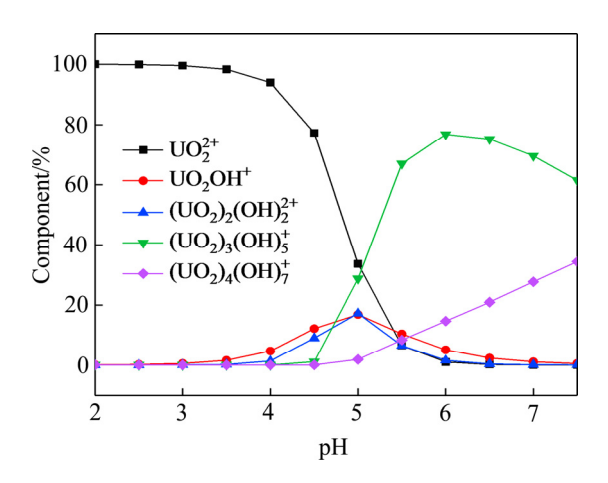


图 3 U(VI)在溶液中不同 pH 时形态分布

Fig. 3 Distribution of aqueous $U(V\!I)$ species as a function of pH values

2.2.2 初始溶液 pH 对 U(VI)去除效果的影响

在溶液固液比为 0.25 g/L,U(VI)质量浓度为 10 mg/L,反应时间为 60 min,反应温度为 25 \mathbb{C} 条件下,初始溶液 pH 对 G-nZVI 去除 U(VI)的影响结果如图 4 所示。

从图 4 可以看出,溶液 pH 对 G-nZVI 去除 U(VI) 的影响很大,在 pH 2.0~4.0 范围内,随着 pH 的增大,U(VI)的去除率在不断的增大。当 pH=4.0 时,G-nZVI 对 U(VI)的去除率和吸附容量达到最大值,分别为96.4%、41.7 mg/g。随后随着 pH 的增加,U(VI)的去除率缓慢下降。

溶液 pH 既能影响 G-nZVI 的表面性质,也能影响 铀在溶液中的存在形态^[21]。石墨负载纳米零价铁去除溶液中的 U(VI)包含如下几个作用:

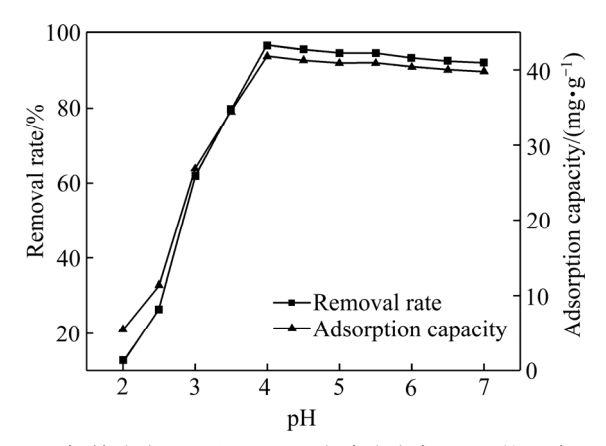


图 4 初始溶液 pH 对 G-nZVI 去除溶液中 U(VI)的影响

Fig. 4 Effect of initial solution pH on removal of U(VI) by G-nZVI

1) 吸附作用

石墨负载纳米零价铁具有较大的比表面积,在表面张力的作用下,溶液中的 UO_2^{2+} 被快速吸附到复合材料的表面。

2) 还原作用

纳米零价铁对 UO2+ 的还原作用:

$$Fe^{0} + UO_{2}^{2+} + 4H^{+} \longrightarrow U^{4+} + Fe^{2+} + H_{2}O \iff UO_{2} + 4H^{+}$$
 (3)

3) 络合沉淀作用:

纳米零价铁在还原 UO_2^{2+} 的同时,本身被氧化成 $FeO \cdot Fe_2O_3$,与溶液中的 UO_2^{2+} 发生络合反应:

$$3Fe^{0}+2O_{2}+H_{2}O \longrightarrow FeO \cdot Fe_{2}O_{3} \cdot H_{2}O \tag{4}$$

FeO·Fe₂O₃+3e
$$\longrightarrow$$
3 \Longrightarrow FeO⁻+UO₂(OH)⁺ \longrightarrow
 \Longrightarrow FeO-UO₂OH (5)

在溶液 $pH \le 4$ 时,铀在溶液中主要形态为 UO_2^{2+} 和 $UO_2(OH)^+$,其浓度占比分别为 93.92%和为 4.62%。由图 3 可知,在 pH=4 时,G-nZVI 对 U(VI)的去除率达到了最大值 96.4%,此时,铀主要以吸附和还原的方式被去除。随着 pH 的升高, UO_2^{2+} 在溶液中发生水解,在 pH > 5.5 后,溶液中 $UO_2(OH)^+$ 进一步水解形成 $UO_2(OH)_2 \cdot H_2O$,不利于 G-nZVI 对 U(VI)的吸附和还原。且在 pH 较高时,溶液中的 Fe^0 不断被腐蚀,导致材料表面产生氢氧化物使材料发生钝化 [22],从而阻碍反应的进行,使得 U(VI)的去除率和吸附容量缓慢下降。

2.2.3 反应时间对 U(VI)去除效果的影响

在溶液 pH=4.0,固液比为 0.25g/L,U(VI)质量浓度 10.0 mg/L,反应温度 25 °C条件下,反应时间对 G-nZVI 去除溶液中 U(VI)的影响结果如图 5 所示。

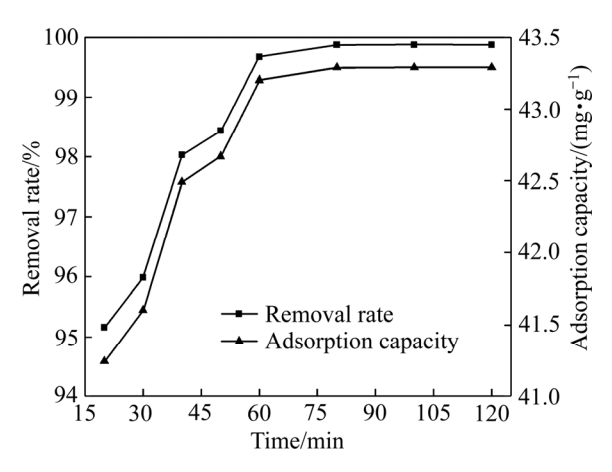


图 5 反应时间对 G-nZVI 去除溶液中 U(VI)的影响

Fig. 5 Effect of reaction time on removal of U(VI) by G-nZVI

从图 5 可以看出,在 60 min 之前,G-nZVI 对 U(VI)的去除率和吸附容量随着时间的增加而急剧上升,60 min 后,G-nZVI 对 U(VI)的去除率和吸附容量增加速度开始减慢,到 80 min 时,去除率和吸附容量均达到最大值,分别为 99.8%、43.3 mg/g,在 80 min 以后去除率和吸附容量基本保持平衡状态。在 80 min 之前,由于溶液中的 U(VI)含量较高,随着反应的不断进行,G-nZVI 表面的活性反应位点逐渐被消耗,溶液中的U(VI)被不断地被吸附和还原沉淀。在 80 min 之后,随着反应的进行,溶液中的 pH 在升高,材料表面的零价铁在溶液中生成氢氧化物,此时溶液中主要发生的是吸附和沉淀过程,反应体系很快达到平衡状态。2.2.4 温度对 U(VI)去除效果的影响

在溶液 pH=4.0,固液比为 0.25g/L,U(VI)初始浓度为 10 mg/L,反应时间为 80 min 的条件下,不同温度对 G-nZVI 去除溶液中 U(VI)的影响如图 6 所示。

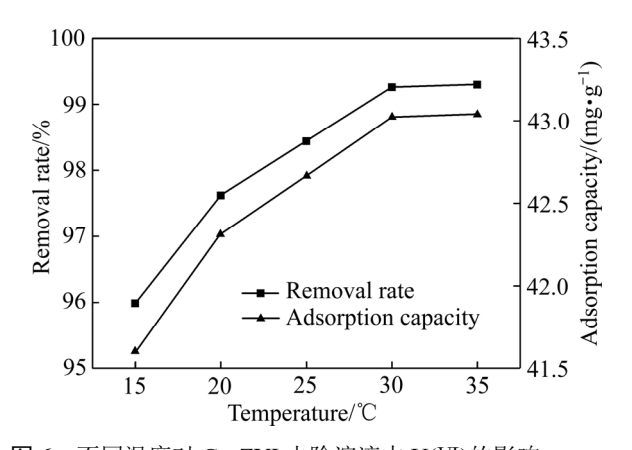


图 6 不同温度对 G-nZVI 去除溶液中 U(VI)的影响

 $\label{eq:Fig. 6} \textbf{Fig. 6} \quad \text{Effect of different temperature on removal of } U(VI) \ by \\ G-nZVI$

从图 6 可以看出,在 30 ℃之前,随着温度的增加,溶液中 U(VI)的去除率和吸附容量在不断地增加,表明升高温度有利于吸附反应的进行,该吸附反应为吸热反应。在反应温度达到 30 ℃时,溶液中 U(VI)的去除率和吸附容量达到最大值,分别为 99.3%和 43.0 mg/g,此时反应达到平衡,温度继续升高对吸附的影响程度减弱。因此,选择 30 ℃的作为反应温度。

2.2.5 固液比对去除 U(VI)效果的影响

在溶液 pH=4.0,反应时间 80 min,U(VI)初始浓度为 10.0 mg/L,反应温度 $30 \text{ \mathbb{C}}$,不同固液比对 G-nZVI 去除溶液中 U(VI)的影响如图 7 所示。

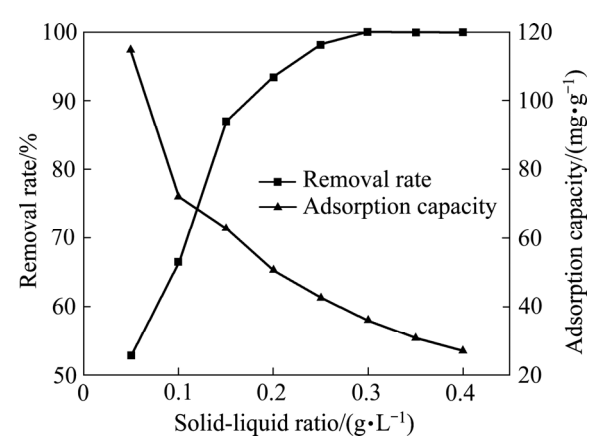


图 7 不同固液比对 G-nZVI 去除溶液中 U(VI)的影响

Fig. 7 Effect of different solid-liquid ratio on removal of U(VI) by G-nZVI

从图 7 可以看出,随着 G-nZVI 浓度的增加,U(VI)的去除率在不断增加,当固液比达到 0.2 g/L 时,去除率达到 93.5%,吸附容量为 50.67 mg/g,继续增加 G-nZVI 的投加量,去除率缓慢增加,吸附容量却呈线性下降。由于 G-nZVI 去除溶液中的 U(VI)是发生氧化还原反应,G-nZVI 中的参加反应的活性位点数量直接影响 U(VI)的去除率,因此,增加 G-nZVI 的投加量会加快反应速率。当在溶液中 G-nZVI 提供的反应位点足以吸附和还原溶液中所有的 U(VI)时,继续增加 G-nZVI 的浓度,不会使反应速度进一步提高^[23],同时单位质量的 G-nZVI 对 U(VI)的吸附容量下降,影响材料使用的经济性。

2.2.6 初始质量浓度对去除 U(VI)效果的影响

在溶液 pH=4.0,固液比为 0.25 g/L,反应时间为 80 min,温度 30 $^{\circ}$ C的条件下,U(VI)初始质量浓度对 G-nZVI 去除 U(VI)效果的影响如图 8 所示。

从图 8 可以看出,随着 U(VI)初始质量浓度的升高,在初始质量浓度小于 50 mg/L 时,去除率缓慢下降,当 U(VI)初始质量浓度大于 50 mg/L 之后,U(VI)

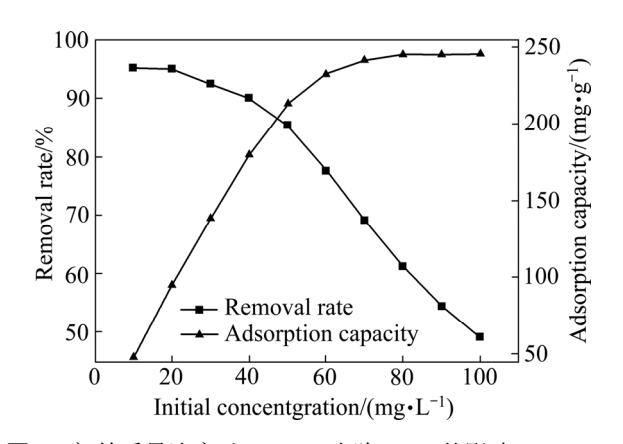


图 8 初始质量浓度对 G-nZVI 去除 U(VI)的影响 Fig. 8 Effect of initial mass concentration on removal of U(VI) by G-nZVI

的去除率快速下降,同时在 U(VI)初始质量浓度大于 50 mg/L 之前,U(VI)的吸附容量快速增加,随着 U(VI) 初始质量浓度的增加,U(VI)的吸附容量缓慢增加直至 达到平衡,在此过程中去除率急剧下降。表明随着溶液中 UO_2^{2+} 浓度不断增加,G-nZVI 中的活性反应位点与 UO_2^{2+} 接触发生还原反应几率增加,吸附容量在不断增加。在固定质量的 G-nZVI 时,反应活性位点数量是一定的,随着反应活性位点的不断消耗,反应速率逐渐减缓并趋于平衡。同时,随着 U(VI) 初始质量浓度增加,溶液中 U(VI) 残余量也在增加,故去除率下降。

3 结论

1) 石墨负载纳米零价铁(G-nZVI)对溶液中 U(VI) 有着较好的去除作用,在 pH 为 4.0,温度为 30 $^{\circ}$ C,反应时间 60 min,固液比为 0.25 g/L,初始 U(VI)浓度为 10.0 mg/L 条件下,U(VI)的去除率和吸附容量分别达到 99.67%和 43.2 mg/g。

2) 复合材料的表征分析表明,纳米零价铁负载于石墨粉表面,能够减少纳米零价铁的链状堆积,同时增加了纳米零价铁的比表面积和反应活性位点。XRD表征结果表明,复合材料中石墨和纳米零价铁的晶体结构没有改变,反应后纳米零价铁被氧化,在溶液中生成 UO₂和 U(IV)氢氧化物沉淀,并附着在 G-nZVI表面,同时石墨的衍射峰的强度减小。

REFERENCES

[1] 黄永锋, 许紫洋. 放射性废物处置研究进展[J]. 化工设计

- 通讯, 2017, 43(2): 105, 122.
- HUANG Yong-feng, XU Zi-yang. Research progress of radioactive waste disposal[J]. Chemical Design Communications, 2017, 43(2): 105, 122.
- [2] KIENZLER B, GECKEIS H. Radioactive wastes and disposal options[C]// The European Physical Journal Conferences, 2018: 189.
- [3] 李小燕, 张 叶. 放射性废水处理技术研究进展[J]. 铀矿 治, 2010, 29(3): 153-156. LI Xiao-yan, ZHANG Ye. Research advances in treatment technology of radioactive wastewater[J]. Uranium Mining

and Metallurgy, 2010, 29(3): 153-156.

- [4] 骆 枫, 冉洺东, 王 力, 刘辰龙, 杨兰菊, 林 力. 放射性 废水来源及其处理方法概述与评价[J]. 四川环境, 2019, 38(2): 108-114.

 LUO Feng, RAN L-dong, WANG Li, LIU Chen-long, YANG Lan-ju, LIN Li. Overview and evaluation of the source and treatment techniques of radioactive wastewater[J]. Sichuan Environment, 2019, 38(2):108-114.
- [5] PANG C, LIU Y H, CAO X H, LIU M, HUANG G L, HUA R, WANG C X, LIU Y T, AN X F. Biosorption of uranium(VI) from aqueous solution by dead fungal biomass of penicillium citrinum[J]. Chemical Engineering Journal, 2011, 170(1): 1–6.
- [6] SINGH J, DUTTA P K. Preparation, circular dichroism induced helical conformation and optical property of chitosan acid salt complexes for biomedical applications[J]. International Journal of Biological Macromolecules, 2009, 45(4): 384–392.
- [7] 刘泽萍, 刘海燕. 吸附法从水体中去除铀的研究和发展[J]. 江西化工, 2019(2): 73-77. LIU Ze-ping, LIU Hai-yan. Research and development of adsorption method for removing oil from water[J]. Jiangxi Chemical Industry, 2019(2): 73-77.
- [8] 阚连宝, 刘 泽. 纳米零价铁制备与应用的研究进展[J]. 环境科学与技术, 2019, 42(6): 215-223.

 KAN Lian-bao, LIU Ze. Research progress in preparation and application of nano-zero-valentiron[J]. Environmental Science & Technology, 2019, 42(6): 215-223.
- [9] ZOU Y, WANG X, KHAN A, WANG P Y, LIU Y H, ALSAEDI A, HAYAT T, WANG X K. Environmental Remediation and application of nanoscale zero-valent iron and its composites for the removal of heavy metal ions: A review[J]. Environmental Science & Technology, 2016, 50(14): 7290-7304.
- [10] 刘晴晴, 李小燕, 秦启凤, 刘 宸, 张梓晗, 刘 学, 陈玉

- 洁. 纳米铁镍双金属去除溶液中 U(VI)的性能研究[J]. 有色金属(冶炼部分), 2018(7): 74-78.
- LIU Qing-qing, LI Xiao-yan, QIN Qi-feng, LIU Chen, ZHANG Zi-han, LIU Xue, CHEN Yu-jie. Removal of U(VI) from aqueous solution with nanoscale Fe/Ni bimetal[J]. Nonferrous Metals(Extr Metal), 2018(7): 74–78.
- [11] DONG H, LO I M C. Influence of humic acid on the colloidal stability of surface-modified nano zero-valentiron[J]. Water Research, 2013, 47(1): 419–427.
- [12] 史德强. 纳米零价铁及改性纳米零价铁对砷离子的去除研究[D]. 昆明: 云南大学, 2016.
 SHI De-qiang. Removal of As(V) and As(III) from water using nanoscale zero-valent iron and modified ZVI(H-nZVI and D-nZVI)[D]. Kunming: Yunnan University, 2016.
- [13] 魏英祥, 涂伟霞. 膨胀石墨负载钯纳米颗粒催化六价铬还原反应[J]. 高等学校化学学报, 2014, 35(11): 2397-2402. WEI Ying-xiang, TU Wei-xia. Reduction of hexavalent chromium over the expanded graphite supported palladium nanocatalyst[J]. Journal of Chemistry of University, 2014, 35(11): 2397-2402.
- [14] 董 军,任黎明,迟子芳,胡文华.氧化石墨烯负载纳米 零价铁(rGO-nZVI)去除地下水中 Cr(VI)的 XPS 谱学表征[J]. 光谱学与光谱分析, 2017, 37(1): 250-255.

 DONG Jun, REN Li-ming, CHI Zi-fang, HU Wen-hua. Analysis of XPS in the removal of Cr(VI) from groundwater with rGO-nZVI[J]. Spectroscopy and Spectral Analysis, 2017, 37(1): 250-255.
- [15] 杜浪, 李玉香, 马雪, 刘永刚. 偶氮胂III分光光度法测定 微量铀[J]. 冶金分析, 2015, 35(1): 68-71.

 DU Lang, LI Yu-xiang, MA Xue, LIU Yong-gang.

 Determination of micro uranium by arsenazo III spectrophotometry[J]. Metallurgical Analysis, 2015, 35(1): 68-71.

[16] 徐 跃,陶艳春,郝兆印,张作文.粉状石墨的原材料与

- 高温烧结微观结构研究[J]. 金刚石与磨料磨具工程, 2003(1): 56-59.

 XU Yue, TAO Yan-chun, HAO Zhao-yin, ZHANG Zuo-wen.
 Research on the microstructure of the raw material of graphite sintered at high temperature[J]. Diamond &
- [17] LI Z J, WANG L, YUAN L Y, XIAO C L, MEI L, ZHENG L R, ZHENG J, YANG J H, ZHAO Y L, ZHU Z T, CHAI Z F, SHI W Q. Efficient removal of uranium from aqueous solution by zero-valent iron nanoparticle and its graphene composite[J]. Journal of Hazardous Materials, 2015, 290(15): 26–33.

Abrasives Engineering, 2003(1): 56-59.

- [18] INGHAM B, TONEY M F. 1–X-ray diffraction for characterizing metallic films[J]. Metallic Films for Electronic Optical & Magnetic Applications, 2014, 433(3): 3–38.
- [19] XU J, LI Y, JING C, ZHANG H C, NING Y. Removal of uranium from aqueous solution using montmorillonitesupported nanoscale zero-valent iron[J]. Journal of Radioanalytical & Nuclear Chemistry, 2014, 299(1): 329–336.
- [20] SUN Y B, DING C C, CHENG W C, WANG X K. Simultaneous adsorption and reduction of U(VI) on reduced graphene oxide-supported nanoscale zerovalent iron[J]. Journal of Hazardous Materials, 2014, 280: 399–408.
- [21] 李小燕. 溶液中 U(VI)、Th(IV)吸附材料的制备及吸附性能和机理研究[M]. 北京: 中国原子能出版社, 2014.
 LI Xiao-yan, In the solution U(VI) and Th(IV) adsorption

- materials preparation and adsorption performance and mechanism of the research[M]. Beijing: China Atomic Energy Press, 2014.
- [22] 刘宸,李小燕,刘晴晴,秦启凤,张梓晗.用负载纳米零价铁的改性沸石从溶液中去除 U(VI)试验研究[J].湿法冶金,2018,37(4):69-74.
 - LIU Chen, LI Xiao-yan, LIU Qing-qing, QIN Qi-feng, ZHANG Zi-han. Removal of U(VI) from aqueous solution using nanoscale zero-valent iron loaded on modified zeolite[J]. Hydrometallurgy of China, 2018, 37(4): 69–74.
- [23] 李小燕, 刘义保, 花明, 高柏. 纳米零价铁去除溶液中U(VI)的研究[J]. 核动力工程, 2013, 34(2): 160-163.

 LI Xiao-yan, LIU Yi-bao, HUA Ming, GAO Bai. Removal of U(VI) from aqueous solution by nanoscale zero-valent iron[J]. Nuclear Power Engineering, 2013, 34(2): 160-163.

Removal of U(VI) in aqueous solution by graphite loading nano-zero-valent iron

LIU Xue, LI Xiao-yan, CHEN Yu-jie, SANG Wei-xuan, CHEN Rong

(State Key Laboratory Breeding Base of Nuclear Resources and Environment, East Chain University of Technology, Jiangxi 330013, China)

Abstract: The nano-zero-valent iron was prepared by liquid phase reduction method and loaded on the surface of graphite powder to form graphite-loaded nano-zero-valent iron composite (G-nZVI). The materials were used to remove U(VI) from the solution. The effects of initial solution pH, reaction temperature and time, initial concentration of U(VI) and solid-liquid ratio on the removal of U(VI) from composite materials (G-nZVI) were investigated. The composites before and after the reaction were characterized by scanning electron microscopy (SEM) and X-ray diffraction (XRD) to analyze the mechanism of U(VI) removal. The research results show that nano-zero-valent iron particles are dispersed on the surface of graphite powder and there is no agglomeration phenomenon. Mainly components are UO_2 and U(IV) hydroxide precipitate in the solution after the reaction. Graphite-loaded nano-zero-valent iron has a good adsorption effect on U(VI). The removal rate and adsorption capacity of U(VI) reach 99.67% and 43.2 mg/g, respectively, when the conditions of pH value is 4.0, temperature is 30 °C, reaction time is 60 min, solid-liquid ratio is 0.25 g/L, initial U(VI) concentration is 10 mg/L. The result shows that the composite material (G-nZVI) has potential application value in the treatment and environmental restoration of uranium-containing radioactive wastewater.

Key words: graphite powder; nano-zero-valent iron; uranium; loading; removal

Foundation item: Projects(41761090, 11465002) supported by National Natural Science Foundation of China;
Project(20171ACB2021) supported by Natural Science Foundation of Jiangxi Province, China;
Project(NRE1608) supported by State Key Laboratory of Nuclear Resources and Environment,
China

Received date: 2019-09-11; Accepted date: 2019-12-12

Corresponding author: LI Xiao-yan; Tel: +86-18070046515; E-mail: 372040739@qq.com